



Ministry of Science, Research and Technology  
Institute for Color  
Science & Technology

Available online @ [www.jscw.icrc.ac.ir](http://www.jscw.icrc.ac.ir)  
Journal of Studies on Color World, 14, 2(2024), 87-101  
Article type: Review article  
Open access

مطالعات در دنیای رنگ  
Journal of Studies in Color World  
[www.jscw.icrc.ac.ir](http://www.jscw.icrc.ac.ir)

## Smart Nanocomposites of Metal-organic Framework (MOF) and Their Applications in Removing Dye and Environmental Pollutants

Mehrnaz Gharagozlu \*<sup>1</sup>, Ali Mohammadsadegh<sup>2</sup>

1- Department of Nanomaterials and Nanocoatings, Institute for Color Science and Technology, P. O. Box: 16765-654, Tehran, Iran.  
2- Mechanically Assisted Corrosion Lab. , School of Metallurgy and Materials Engineering, College Engineering, University of Tehran, P. O. Box: 11155 -4563, Tehran, Iran.

### ARTICLE INFO

Article history:

Received: 17- 07- 2023

Accepted: 02- 10-2023

Available online: --2024

Print ISSN: 2251-7278

Online ISSN: 2383-2223

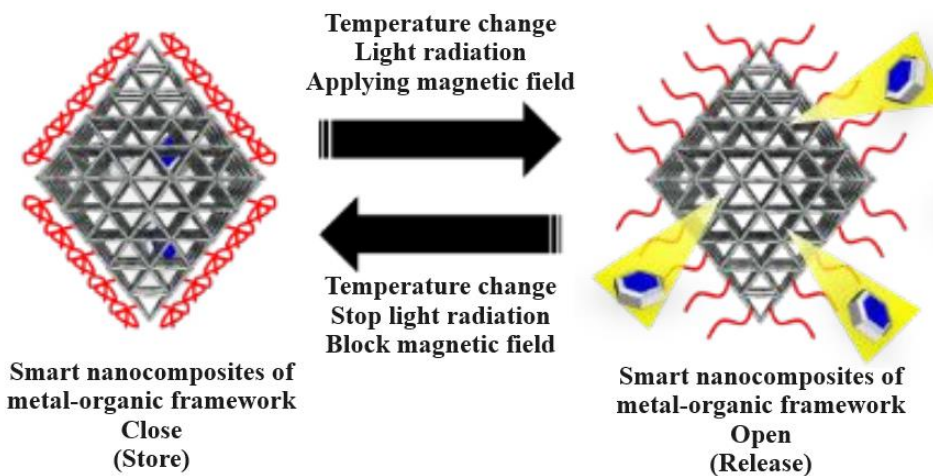
DOI: [10.30509/JSCW.2023.81974](https://doi.org/10.30509/JSCW.2023.81974)

### Keywords:

Smart metal-organic framework  
Light-responsive nanocomposites  
Heat-responsive nanocomposites  
Magnetic-responsive nanocomposites  
Removal of dye and environmental pollutants

### ABSTRACT

Environmental-related issues such as global warming, water pollution, and waste production are becoming increasingly urgent and endangering human lives. Developing new functional materials to deal with such environmental hazards is still an ongoing process. Metal-organic framework nanostructures, MOFs, are highly porous materials with generally high adsorption capacity for environmental pollutants. Incorporating stimuli-responsive moieties in their structures gives them more easily recovered and recyclable properties. Some researchers have successfully incorporated photoactive species into the structures of MOFs, forming light-responsive nanocomposites. Also, in smart heat-responsive nanocomposites, the presence of thermo-responsive polymeric units in the structure of an MOF gives it physicochemical properties that are sensitive to temperature changes. Recycling and separation of MOF nanocomposites can be facilitated by the incorporation of magnetic nanoparticles into their structures. This review investigates the applications of smart nanocomposites responsive to heat, light, and magnetism to remove dye and environmental pollutants. Also, this article discusses the challenges related to using smart nanocomposites as new compounds in environmental applications and their future prospects.



Corresponding author: [gharagozlu@icrc.ac.ir](mailto:gharagozlu@icrc.ac.ir)



This work is licensed under a Creative Commons Attribution 4.0 International License



## نانوکامپوزیت‌های هوشمند چارچوب فلزی-آلی MOF و کاربردهای آن‌ها در حذف آلاینده‌های مواد رنگزا و زیستمحیطی

مهرناز قراغوزلو<sup>۱\*</sup>، علی محمدصادق<sup>۲</sup>

۱- دانشیار، گروه پژوهشی نانوفناوری رنگ، پژوهشگاه رنگ، تهران، ایران، صندوق پستی: ۱۶۷۶۵-۶۵۴

۲- کارشناس ارشد، آزمایشگاه جنبه‌های مکانیکی خوردگی، دانشکده مهندسی متالورژی و مواد، دانشگان فنی دانشگاه تهران، تهران، ایران، صندوق پستی: ۱۱۱۵۵-۴۵۶۳.

### چکیده

### اطلاعات مقاله

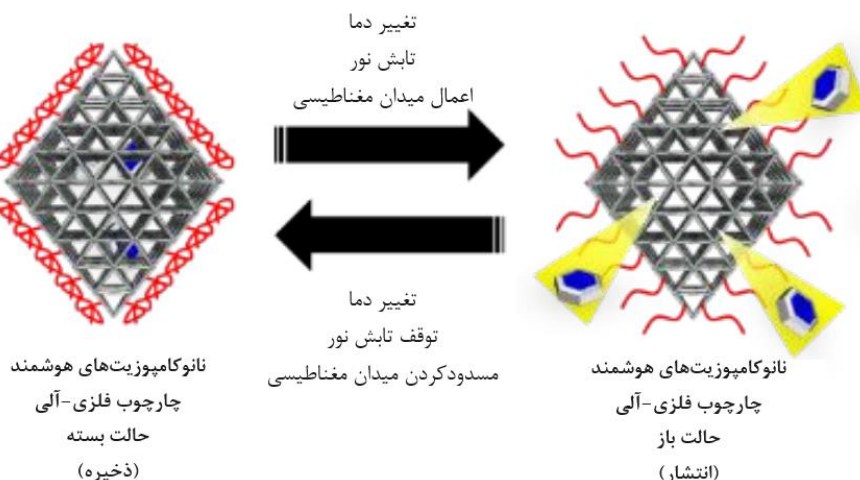
مسائل مربوط به آلاینده‌های مواد رنگزا و محیط‌زیست مانند گرم شدن کره زمین، آلودگی آب و تولید زباله روزبه روز اهمیت بیشتری پیدا کرده و زندگی انسان‌ها را به خطر می‌اندازد. توسعه مواد کاربردی جدید برای مقابله با چنین مخاطرات زیست‌محیطی همچنان مورد توجه محققین است. نانوساختارهای چارچوب فلزی-آلی MOF‌ها، نانومواد متخلخلی با ظرفیت جذب بالای آلاینده‌های زیست‌محیطی هستند. با ترکیب بخش‌های پاسخگو به محرک‌ها در ساختارهایشان، می‌توان ویژگی‌هایی مانند بازیافت را به آن‌ها اضافه می‌کند. برخی از پژوهشگران با موفقیت گونه‌هایی فعال نوری را در ساختارهای MOF‌ها وارد کرده‌اند که منجر به تشکیل نانوکامپوزیت‌های هوشمند پاسخگو به نور می‌شود. همچنین در نانوکامپوزیت‌های هوشمند پاسخگو به حرارت وجود واحدهای پلیمری پاسخگوی حرارتی در ساختار MOF باعث می‌شود دارای خواص فیزیکی و شیمیایی حساس به تغییرات دما باشند. بازیافت و جداسازی نانوکامپوزیت‌های MOF را می‌توان با ترکیب نانوذرات مغناطیسی در ساختار آن‌ها و ساخت نانوکامپوزیت‌های هوشمند پاسخگو به مغناطیس تسهیل کرد. این پژوهش به بررسی کاربردهای نانوکامپوزیت‌های هوشمند پاسخگو به حرارت، نور و مغناطیس برای حذف آلاینده‌های مواد رنگزا و زیست‌محیطی می‌پردازد. همچنین در این مقاله، چالش‌های مرتبط با استفاده از نانوکامپوزیت‌های هوشمند به عنوان ترکیبات جدید در کاربردهای زیست‌محیطی و چشم‌انداز آینده آن‌ها مورد بحث قرار گرفته‌اند.

تاریخچه مقاله:  
تاریخ دریافت: ۱۴۰۲/۰۴/۲۶  
تاریخ پذیرش: ۱۴۰۲/۰۷/۱۰  
در دسترس به صورت الکترونیکی: ۱۴۰۲/۱۲/  
شاپا چاپی: ۲۲۵۱-۷۲۷۸  
شاپا الکترونیکی: ۲۳۸۳-۲۲۲۳

DOI: 10.30509/JSCW.2023.81974

### واژه‌های کلیدی:

چارچوب فلزی-آلی هوشمند  
نانوکامپوزیت‌های پاسخگو به نور  
نانوکامپوزیت‌های پاسخگو به گرما  
نانوکامپوزیت‌های پاسخگو به مغناطیس  
حذف آلاینده‌های مواد رنگزا و زیست‌محیطی



Corresponding author: gharagozlu@icrc.ac.ir



This work is licensed under a Creative Commons Attribution 4.0 International License

## ۱- مقدمه

همچنین ظرفیت‌های جذب بالا همراه است (۳۶، ۳۷). اگرچه زئولیت‌های مصنوعی (که فقط از اجزای غیرآلی مانند سیلیکات‌ها و آلومینات‌ها تشکیل شده‌اند) از دهه ۱۹۴۰ به طور گسترده مورد مطالعه قرار گرفته‌اند، تا اواخر دهه ۱۹۸۰ و اوایل دهه ۱۹۹۰ اولین مواد متخلخل بلوری با اندازه منافذ بزرگ‌تر از ۱ و ۲ نانومتر بود، به ترتیب گزارش شدند. در سال ۱۹۹۵، یک طبقه منحصر به فرد از مواد متخلخل بلوری، به نام چارچوب‌های فلزی-آلی (MOFs) توسط یاغی<sup>۷</sup>، پدید آمد و از آن زمان به دلیل پیوندهای قوی بین یون‌های فلزی و پیوندهای آلی باردار، خود را با متخلخل دائمی و مساحت سطح بالا متمایز کرد اگرچه مفهوم اولیه متخلخل در مواد فلزی-آلی با ساختارهای گسترده در اواخر دهه ۱۹۸۰ و اوایل دهه ۱۹۹۰ تصور شد، تا اواخر دهه ۱۹۹۰ اولین اندازه‌گیری‌های تجربی جذب گاز این مواد هیریدی معدنی-آلی گزارش نشد. کیتاگاوا<sup>۸</sup> ایزوتروم‌های جذب گاز در دمای اتاق را در فشارهای بالا گزارش کرد و نشان داد که پلیمرهای فلزی-آلی قادر به جذب مولکول‌های مهمان فاز گاز هستند. در سال ۱۹۹۸، یاغی اولین MOF را گزارش کرد که متخلخل دائمی را با ایزوتروم‌های جذب/واجدب نیتروژن در دمای ۷۷ کلوین و فشار کم نشان می‌داد (۳۸). با این حال، استفاده از نانوجادب‌های مبتنی بر MOF برای تصفیه محیط‌زیست معمولاً با وجود تعداد محدودی از فن‌ها برای بازیابی آن‌ها پس از فرایند جذب مختل می‌شود (۳۹، ۴۰). علاوه بر این، دفع MOF‌های غنی‌شده معمولاً با استفاده از حللهای آلی است که برخی از آن‌ها برای محیط‌زیست سمی هستند (۴۰، ۴۱). درنتیجه، محققان در تلاش هستند تا نانوکامپوزیت‌های MOF را بسازند که به راحتی بازیافت شوند. یکی از این راهبردها ساخت نانوکامپوزیت‌های چارچوب فلزی-آلی هوشمند است که به محرك‌های مانند دما، نور و میدان مغناطیسی پاسخ می‌دهند. استفاده از MOF‌های هوشمند پاسخگو به محرك‌ها در خلال تصفیه محیط‌زیست در سال‌های اخیر سرعت بیشتری به دست آورده است (۴۱-۴۳).

به عنوان مثال، وی و همکارانش (۴۴)، از MOF هوشمند پاسخگوی مغناطیسی مبتنی بر حلحل عمیق یوتکتیک برای جذب مواد دارویی و محصولات مراقبت شخصی از فاضلاب استفاده کرد. موگل و همکارانش (۴۴) با موفقیت از MOF‌های هوشمند پاسخگو به نور برای حذف جذبی مواد رنگزا از فاضلاب استفاده کرد درحالی که ژانگ<sup>۹</sup> و همکارانش (۴۵) عملکرد جذب MOF‌های هوشمند پاسخگو به pH اصلاح شده با کیتوزان و آتابولزیت<sup>۱۰</sup> را در طی اصلاح آب آلوده به مواد رنگزا ارزیابی کرد.

رشد سریع جمعیت انسانی و صنعتی شدن جهان منجر به تخلیه مقداری زیادی از آلینده‌ها به محیط‌زیست در سال‌های اخیر شده است (۱، ۲). این آلینده‌ها شامل آلینده‌های گازی نظیر  $\text{N}_2$  و  $\text{CO}_2$  و غیره. آلینده‌های معدنی مانند کروم، کadmیم، جیوه، آرسنیک، فلور و همچنین آلینده‌های آلی پایدار و میکروبلاستیک‌ها می‌شوند (۳، ۴). بررسی‌ها نشان می‌دهد محیط‌زیست به شدت توسط این آلینده‌ها آسیب‌دیده و سلامت انسان‌ها به خطر افتاده است (۴-۶): بنابراین، لازم است اقدامات مؤثری برای تصفیه و حذف مناطق آلوده انجام شود تا اثرات زیست‌محیطی این آلینده‌ها به حداقل برسد. روش‌هایی که به‌طور موفقت آمیزی برای تصفیه محیط‌های آلوده استفاده شده‌اند عبارت‌اند از لخته‌سازی<sup>۱</sup> (۳، ۷)، انعقاد<sup>۲</sup> (۸، ۹)، صاف‌کردن (۱۱، ۱۰) و جذب (۱۳، ۱۲). در میان این روش‌ها، استفاده از جذب سطحی توسط نانوجادب‌های جدید در سال‌های اخیر رواج بیشتری یافته است که این را می‌توان به اقتصادی بودن و سادگی روش به عنوان یک فرایند تصفیه نسبت داد (۱۴-۱۷).

در سال‌های گذشته تحقیقات زیادی برای جاذب‌های سازگار با محیط‌زیست و ظرفیت جذب بالا برای آلینده‌های مواد رنگزا و محیطی صورت گرفته است (۱۸-۲۱): بنابراین، برخی از محققان از جاذب‌های مبتنی بر پلی‌ساکارید (۲۲، ۲۳)، نانوکامپوزیت‌های پلی‌دوبامین (۲۵)، (۲۴)، خاک رس طبیعی (۲۶)، چارچوب‌های فلزی-آلی<sup>۳</sup> (۲۷، ۲۸) و نانوکامپوزیت‌های مبتنی بر حلحل یوتکتیک عمیق استفاده کرده‌اند (۲۹). در همین راستا چارچوب‌های فلزی-آلی ترکیبات پلیمری هم‌آرایی<sup>۴</sup> هستند که از فلز به عنوان گره و پیوندهای<sup>۵</sup> آلی به عنوان ارتباط‌دهنده تشکیل شده‌اند (۳۰). به منظور حذف آلینده‌های محیط‌های آلوده، MOF‌ها نظر بسیاری از محققین را برای تصفیه محیطی به خود جلب کرده است (۳۱-۳۳). این مشاهدات را می‌توان به کارایی بالای MOF‌ها و نانوکامپوزیت‌های آن‌ها به عنوان جاذب آلینده‌های محیط‌ی انتخابی تخلخل، معماری منفذی و عملکرد بالا و همچنین وجود بسیاری از مکان‌های جذب فعال نسبت داد (۳۴، ۳۵) محققان از انواع بسیاری از MOF‌ها به منظور تصفیه محیط‌زیست استفاده کرده‌اند. بعضی از این موارد عبارت‌اند از چارچوب‌های زئولیتی ایمیدازولات<sup>۶</sup> (ZIF)، MOF‌های مبتنی بر کلسیم برای حذف ترکیبات مختل‌کننده غدد درون‌ریز از محیط آبی، MOF‌های کاربردی به عنوان جاذب برای غنی‌سازی انتخابی آلینده‌های دارویی در نمونه‌های آبی. نتایج تجربی نشان داد که استفاده از جاذب‌های مبتنی بر MOF معمولاً با بازیابی استخراج نسبتاً بالا و

<sup>1</sup> Flocculation

<sup>2</sup> Coagulation

<sup>3</sup> Metal-organic framework

<sup>4</sup> Coordination

<sup>5</sup> Ligand

<sup>6</sup> Zeolitic Imidazolate Frameworks

<sup>7</sup> Yaghi

<sup>8</sup> Kitagawa

<sup>9</sup> Zhang

<sup>10</sup> Attapulgite

**جدول ۱:** استفاده از نانوکامپوزیت‌های MOF هوشمند پاسخگو به محرک برای اصلاح آلاینده‌های مواد رنگرا و محیط‌زیستی

Table 1: Application of stimuli-responsive MOF composites during environmental remediation

Analyte	Class of analyte	Matrix	Stimuli-responsive MOFs	Stimulus	Performance parameters	Reference
CO <sub>2</sub> /N <sub>2</sub> and SO <sub>2</sub> /N <sub>2</sub> gas separation	Gas	Gas	Light-responsive hierarchical metal organic frameworks constructed mixed matrix membranes	Light	CO <sub>2</sub> (SO <sub>2</sub> )/N <sub>2</sub> selectivity of 78(420)	(46)
Fluoroquinolones	Antibiotic	Water samples	pH/thermo dual-responsive microporous polymeric microspheres	pH and temperature	High recovery values (93.1–97.2%), a high enrichment factor (180), and good precision (RSD < 8%, n = 6)	(46)
Congo red	Dye	Wastewater	Microporous photoresponsive azobenzene dicarboxylate MOFs of Al <sup>3+</sup> (Al-AZB) and Zr <sup>4+</sup> (Zr-AZB)	Light	The maximum adsorption capacity of Al-AZB and Zr-AZB was 456.6 mg g <sup>-1</sup> and 128.9 mg g <sup>-1</sup> , respectively	(47)
Na <sup>+</sup> , k <sup>+</sup> and Li <sup>+</sup> ions	Monovalent metal ions	Water samples	Crosslinked poly(Nisopropylacrylamide-coacryloylamidobenzo-18-crown-6) functionalized MOF-808	Temperature	High adsorption capacity of 1.04 mmol g <sup>-1</sup> and excellent selectivity up to 29.4 for Na <sup>+</sup> /Li <sup>+</sup> and 34.4 for K <sup>+</sup> /Li <sup>+</sup>	(48)
Chromium (VI) ions	Heavy metal ions	Wastewater	Visible-light responsive PPynt@NH2-MIL-125 nanocomposite	Light	99.02% Cr(VI) reduction	(49)
CO <sub>2</sub> and N <sub>2</sub>	Gases	Air	UiO-66 frameworks with azobenzene functionalities	Light	High selectivity	(50)
Alkylphenols	Phytochemicals	Water	Thermo-responsive polymer PNIPAM tethered to Fe <sub>3</sub> O <sub>4</sub> @SiO <sub>2</sub> @MOF coreshell magnetic microspheres	Temperature	High recoveries (78.7–104.3%) of alkylphenols	(50)
Methylene blue	Dye	Wastewater	Thermoresponsive ZIF-8 @PNIPAm-coMAA microgel composites	Temperature	High extraction efficiency	(51)
Tetracycline	Antibiotic	Water	Temperature-responsive polymertethered Zr-porphyrin MOFs encapsulated carbon dot nanohybrids	Temperature	Removal efficiency for tetracycline was 90.93% in just 20 min	(43)
Fluoroquinolones	Antibiotic	Water samples	pH/thermo dual-responsive microporous polymeric microspheres	pH and temperature	High recovery values (93.1–97.2%), a high enrichment factor (180), and good precision (RSD < 8%, n = 6)	(52)
As(III) and As(V)	Heavy metal	Wastewater	magnetic zeolitic imidazolate frameworks (ZIF-8)	Magnetic field	Adsorption capacity was 30.87 and 17.51 mg g <sup>-1</sup> , for As(III) and As(V), respectively	(53)
Fluoroquinolones	Antibiotics	Water	Core-shell titanium-based MOF functionalized magnetic microsphere	Magnetic field	Extraction recoveries in the range of 83.8–109.4% with the RSDs lower than 8.9%	(54)
Methyl orange	Dye	Wastewater	Zolitic imidazolate framework cobaltderived ZIF-67	Light	more than 88% of MO is degraded within 1 h	(55)
Sulfamethoxazole	Antibiotic	Water	UiO-66-NH <sub>2</sub> /Ag <sub>3</sub> PO <sub>4</sub> MOF-nanoparticle composites	Light	Adsorption capacity of 200 mg g <sup>-1</sup>	(42)
Tetracycline	Antibiotic	Water	MOFs composites based on TiO <sub>2</sub> and MIL-53(Fe)	Light	Adsorption capacity of 287.18 mg g <sup>-1</sup>	(56)

اولادی<sup>۱</sup> و همکارانش (۱۸) استفاده از آب آلوده به مواد رنگرا با استفاده از نانوکامپوزیت‌های MOF را بررسی کرد. راجپوت<sup>۲</sup> و همکارانش (۵۷) استفاده از MOF‌ها برای تصفیه فاضلاب مواد رنگرا را مورد بررسی قرار داد. از سوی دیگر، عبدالحمید و متیو (۵۷) یک بررسی جامع در مورد کاربردهای چندوجهی نانوکامپوزیت‌های

MOF‌های پاسخگو به محرک انواع مختلفی از برهم کنش‌ها را با آلاینده‌های محیطی تشکیل می‌دهند که شامل پیوندهای هیدروژنی، برهم کنش‌های  $\pi$ - $\pi$ ، برهم کنش‌های الکترواستاتیکی، کمپلکس شدن و برهم کنش‌های آب‌گریز است.

در سال‌های اخیر بررسی‌های زیادی در مورد استفاده از MOF‌ها در طی تصفیه محیط‌زیست گزارش شده است. به عنوان مثال،

<sup>1</sup> Oladoye

<sup>2</sup> Rajput

پاسخگو به حرارت که معمولاً در ساختار نانوکامپوزیت‌های MOF محبوس می‌شوند را می‌توان به پلیمرهای دمای محلول بحرانی پایین<sup>۱</sup> و دمای محلول بحرانی بالا<sup>۲</sup> (UCST) طبقه‌بندی کرد. دمای محلول بحرانی (CST) دمایی است که در آن جداسازی فاز اتفاق می‌افتد. پلیمرهای نوع LCST آبدوست هستند و در دمای کمتر از LCST خود با آب قابل امتزاج هستند در حالی که در دمای بالاتر از LCST خود آب‌گریز هستند<sup>(۵۹)</sup>. از سوی دیگر، پلیمرهای نوع UCST در دماهای بالاتر از UCST خود آبدوست و در دمای زیر UCST خود آب‌گریز هستند<sup>(۴۳)</sup>.

پلیمرهای پاسخگو به حرارت ترکیب شده با نانوکامپوزیت‌های MOF توسط برخی از محققین برای حذف آلاینده‌های مواد رنگزا و زیست‌محیطی استفاده شده است (جدول ۱). به عنوان مثال، ژانگ و همکارانش<sup>(۴۸)</sup>، از پلی شبکه‌ای متقابل (N-isopropylacrylamide-co-MOF-808 (acryloylamidobenzo-18-crown-6 MOF-808) به عنوان یک جاذب انتخابی برای کاتیون‌ها در فاضلاب رنگی و حذف آلاینده‌های مواد رنگزا استفاده کرد (شکل ۱). حضور PNIPAM به جاذب با واکنش دما و کمپلکس benzo-18-crown-6 به جاذب کاتیونی اعطا کرد. جاذب pNCE/MOF-808 آن را با میل اتصال ویژه کاتیونی اعطای کرد. جاذب pNCE/MOF-808 پایداری مجموعه cation-benzo-18-crown-6 باعث می‌شود  $\text{Na}^+$  و  $\text{K}^+$  را جذب کند و  $\text{Li}^+$  را در دمای محیط باقی بگذارد.

<sup>1</sup> Lower critical solution temperature

<sup>2</sup> Upper critical solution temperature

سلولز-MOF از جمله تصفیه محیط‌زیست و مواد رنگزا منتشر نمودند. بیشتر این پژوهش‌ها کاربرد MOF‌های پاسخگو به محرك‌ها را در برای تصفیه محیط‌زیست آلوهه بررسی نمی‌کنند. مقالات نسبتاً کمی در منابع وجود دارد که کاربرد MOF‌های هوشمند را در تصفیه محیط‌زیست و حذف آلاینده‌های مواد رنگزا بررسی کرده باشد؛ بنابراین، این مقاله با کاوش در استفاده از MOF‌های هوشمند برای تصفیه فاضلاب و حذف آلاینده‌های مواد رنگزا، قصد دارد این شکاف تحقیقاتی را پر کند.

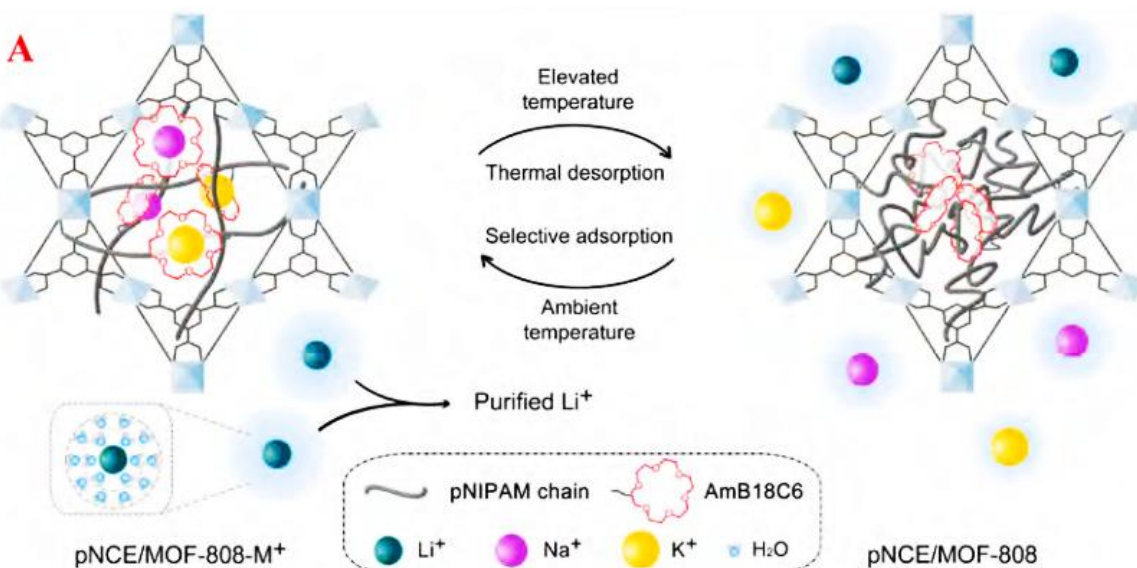
## ۲- کاربرد نانوکامپوزیت‌های MOF پاسخگو به

### محرك برای تصفیه محیط‌زیست

MOF‌های هوشمند پاسخگو به دما، نور و واکنش مغناطیسی توسط بسیاری از محققین برای تصفیه محیط‌زیست مورد استفاده قرار گرفته‌اند. این بخش به طور کامل کاربرد MOF‌های هوشمند پاسخگو حرارتی، MOF‌های پاسخگو به نور و MOF‌های پاسخگو به مغناطیسی را برای حذف آلاینده‌های مواد رنگزا و زیست‌محیطی بررسی می‌کند.

## ۲- نانوکامپوزیت‌های MOF پاسخگوی حرارتی

نانوکامپوزیت‌های MOF هوشمند پاسخگو به حرارت در ساختار آن‌ها ساخته می‌شوند<sup>(۵۷)</sup>، وجود ترمopolیمرهای پاسخگو باعث می‌شوند که خواص فیزیکی و شیمیایی نانوکامپوزیت‌های MOF به شیوه‌ای کنترل شده و برگشت‌پذیر در پاسخ به تغییرات دما تغییر کند<sup>(۵۸)</sup>. پلیمرهای



شکل ۱: جذب انتخابی بون‌های فلزی تک‌ظرفیتی و دما باعث دفع در pNCE/MOF-808 برگشت‌پذیر حرارتی می‌شود<sup>(۴۸)</sup>.

Figure 1: Selective adsorption of monovalent metal ions and temperature-triggered desorption in thermally reversible pNCE/MOF-808 (48)

نور استفاده کرده و از آن‌ها برای توسعه جاذب‌های کارآمد و غشاها<sup>۱</sup> برای حذف آلاینده‌های مواد رنگزا و زیستمحیطی استفاده کردند (جدول ۱).

تاکنون، بسیاری از انواع مختلف MOF‌های پاسخگو به نور با موفقیت سنتز شده‌اند. به طور کلی می‌توان آنها را در سه نسل دسته‌بندی کرد. MOF پاسخگو به نور نسل اول از مولکول مهمان پاسخگو به نور برای القای خاصیت پاسخگوی نور خود استفاده می‌کند. مثالی برای این MOF‌ها توسط یانی<sup>۲</sup> و همکارانش ارائه شده است که از نور مرئی برای تحریک انتشار CO<sub>2</sub> استفاده کرد. برخلاف نسل اول، MOF‌های نسل دوم و نسل سوم که به نور پاسخ می‌دهند از پیوندهای پاسخگو به نور برای القای خاصیت پاسخگو به نور استفاده می‌کنند. در نسل دوم، قسمت پاسخگو به نور به داخل MOF بیرون زده است. یکی از نمونه‌های معروف این MOF منافذ ZIF-8 MOF با سنتز یک MOF-57 ایزورتیکولار پاسخگو توسط ژو<sup>۳</sup> و همکارانش با سنتز یک MOF-57 ایزورتیکولار پاسخگو به نور ارائه شد. نقطه ضعف استفاده از MOF پاسخگو به نور نسل اول و نسل دوم این اسن که منافذ آن‌ها توسط مولکول‌های مهمان یا سایر بخش‌ها اشغال شده است. هنگامی که به عنوان جاذب استفاده می‌شود، این به طور بالقوه کارایی آن‌ها را کاهش می‌دهد. در حالی که در نسل سوم، پیوند پاسخگو به نور به عنوان چارچوب ستونی MOF عمل می‌کند. یک مزیت آشکار استفاده از MOF پاسخگو به نور نسل سوم وجود دارد: عدم وجود هر گونه مولکولی در منافذ آن. این باعث می‌شود که منافذ MOF پس از استفاده به عنوان جاذب کاملاً در دسترس باشد.<sup>(۶۱)</sup>

غشاها پاسخگو به نور توسط برخی از محققان برای تصفیه محیط‌زیست استفاده شده است. شین<sup>۴</sup> و همکارانش (۴۶)، یک غشای بستر مخلوط متشکل از یک MOF پاسخگو به نور و بستر Matrimid 5218 سنتز کرد. MOF پاسخگو به نور با استفاده از 4,4'-azobenzenedicarboxylic ماکروویو سنتز شد. آن‌ها از غشاء مبتنی بر MOF پاسخگو به نور برای جداسازی گازها (CO<sub>2</sub> و N<sub>2</sub>) استفاده کردند (شکل ۲). نتایج تجزیی نشان داد که غشاء مبتنی بر MOF پاسخگو به نور دارای گزینش‌گری CO<sub>2</sub>/N<sub>2</sub> (SO<sub>2</sub>) نسبتاً بالایی است. اثر الک اندازه غشاء مبتنی بر MOF پاسخگو به نور با اندازه منافذ ۰,۳۵ نانومتر، گزینش‌گری را افزایش داد، درحالی که گروه N=N- تمایل بیشتری به مولکول‌های CO<sub>2</sub> به جای N<sub>2</sub> نشان داد. مکان‌های غشای بستر مخلوط به دلیل وجود بخش‌های آزو در ساختار آن، پاسخ‌دهی به نور را نشان دادند.

<sup>2</sup> Yanai

<sup>3</sup> Zhou

<sup>4</sup> Xin

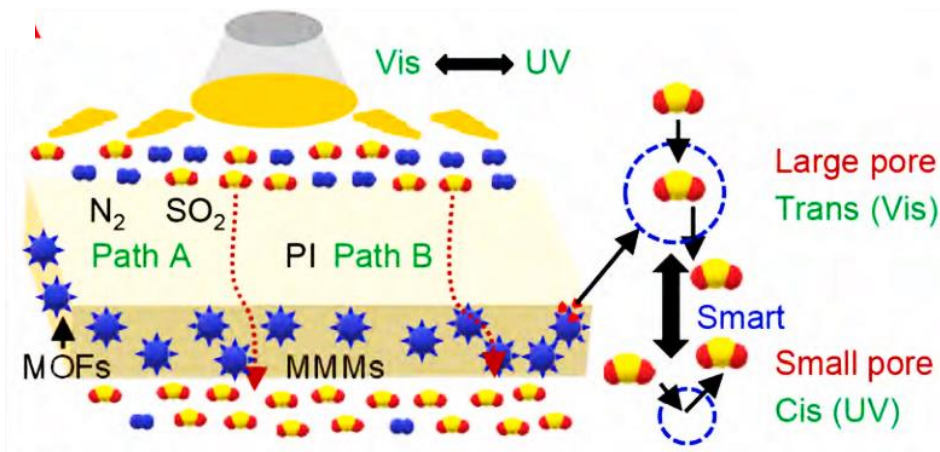
در دمای محیط، زنجیرهای PNIPAM به دلیل این که دما کمتر از LCST آن‌ها بود، آب‌دست هستند و به دلیل تشکیل پیوندهای هیدروژنی قوی بین گروه‌های آمید و مولکول آب، ساختارهای سیم‌پیچ متورم داشتند. این امر باعث می‌شود که شبکه پلیمری شل شود و باعث می‌شود که مجموعه cation-benzo-18-crown-6 در معرض یون‌های فلزی قرار گیرد و درنتیجه جذب را تسهیل کند. در مقابل، دماهای بالاتر از ۴۵ درجه سانتی‌گراد باعث تورم زدایی زنجیرهای پلیمری شده و باعث می‌شود آن‌ها در حالت فرپوشانی قرار بگیرند که باعث تعییر شکل مکان‌های جذب شده و درنتیجه باعث افزایش دفع می‌شود.

نانوکامپوزیت‌های MOF و پلیمرهای واکنش‌گر حرارتی توسط برخی از محققان برای حذف آلاینده‌های مواد رنگزا و زیستمحیطی استفاده شده‌اند. به عنوان مثال، آلگرتو<sup>۱</sup> و همکارانش، از یک میکروژل ZIF-8 MOF و یک پلیمر PNIPAM پاسخگو به حرارت برای جذب ماده رنگزای متیلن آبی از فاضلاب استفاده کردند. آن‌ها متابکریلیک اسید را به عنوان یک مونومر در طول سنتز میکروژل ترکیب کردند. حضور بخش‌های کربوکسیلیک اسید از متابکریلیک اسید باعث ایجاد هسته‌های ناهمگن محدود از طریق پیش‌غلظت پیش‌سازهای MOF در نانوکامپوزیت می‌شود. نانوکامپوزیت دارای ترکیبی هم‌افزایی از خاصیت پاسخگوی حرارتی از PNIPAM و تخلخل بالا از MOF بود. آن‌ها با موفقیت از میکروژل برای جذب متیلن آبی از فاضلاب استفاده کردند و ظرفیت جذب نسبتاً بالایی و همچنین گزینش‌پذیری بالایی به دست آوردند که به دلیل ماهیت بسیار متخلخل میکروژل مبتنی بر MOF وجود منافذ تنظیم شده حرارتی آن بود. علاوه بر این، میکروژل را می‌توان به راحتی با تعییر شرایط دما بازیابی کرد. از مزایای MOF‌های پاسخگوی حرارتی ظرفیت جذب بالا و سرعت جذب و دفع سریع‌تر آن است. همچنین از معایب آن به محدودیت استفاده شرایط دمایی به دلیل پاسخگویی به حرارت اشاره کرد (۳۸).

## ۲-۲- نانوکامپوزیت‌های MOF پاسخگوی نوری

MOF‌های پاسخگو به نور دارای گونه‌های فعل نوری هستند که در ساختار خود تعبیه شده‌اند (۴۶، ۴۹، ۶۰). برخود آن‌ها با نور دارای طول موج و شدت مناسب باعث ایجاد تعییراتی در خواص فیزیک و شیمیایی آن‌ها حذف آلاینده‌های مواد رنگزا و زیستمحیطی می‌شود (۴۷). این تعییرات شامل برانگیختن الکترون‌ها از باندهای ظرفیت به باندهای رسانایی و همپارش از سیس به ترانس و همچنین تعییرات در تخلخل، بافت یا ترکیب شیمیایی آن‌ها است (۴۲، ۵۵، ۵۶). برخی از محققان از این تحولات القاشه نوری MOF‌های پاسخگو به

<sup>1</sup> Allegretto

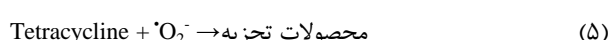
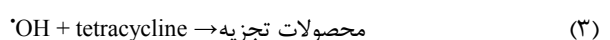
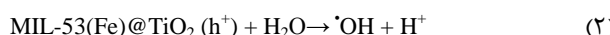


شکل ۲: چارچوب‌های آلی فلزی سلسله مراتبی پاسخگو به نور هوشمند، غشاها بستر مخلوط را برای جداسازی گاز کارآمد ساخته‌اند (۴۶).

Figure 2: Smart light-responsive hierarchical metal organic frameworks constructed mixed matrix membranes for efficient gas separation. (46).

$\text{Ag}_3\text{PO}_4$  بدون حلول و درنتیجه سازگار با محیط‌زیست بود (۴۶). در پژوهش دیگری، زانگ و همکارانش (۵۶)، از یک فرایند حلول گرمایی تک مرحله‌ای برای سنتز یک نانوکامپوزیت MIL-53(Fe)@ $\text{TiO}_2$  که به نور پاسخگو است استفاده کرد و از آن برای تصفیه تتراسایکلین در فاضلاب رنگی استفاده کرد. نتایج تجربی نشان داد که نانوکامپوزیت MIL-53(Fe)@ $\text{TiO}_2$  سنتز شده دارای ظرفیت جذب افزایش یافته برای تتراسایکلین در هنگام تابش نور مرئی است. جذب تتراسایکلین در نانوکامپوزیت MIL-53(Fe)@ $\text{TiO}_2$  عمدهاً از طریق برهم‌کنش  $\pi$ - $\pi$  رخ داده است. آن‌ها ظرفیت جذب نسبتاً بالایی در شرایط بهینه به دست آوردند. وجود Ti در نانوکامپوزیت دلیل پاسخگویی به نور بود. تابش نانوکامپوزیت غنی شده با الکترون‌های برانگیخته با نور مرئی ( $e^-$ ) در باند ظرفیت (VB) نانوکامپوزیت به نوار هدایت (CB) باعث ایجاد حفره‌های  $\text{h}^+$  در VB شد. درنتیجه،  $\text{h}^+$  با  $\text{H}_2\text{O}$  واکنش نشان داد تا رادیکال‌های  $\cdot\text{OH}$  و  $\cdot\text{O}_2^-$  همان‌طور که در واکنش‌های ۱ تا ۵ نشان داده شده است، تولید کند.

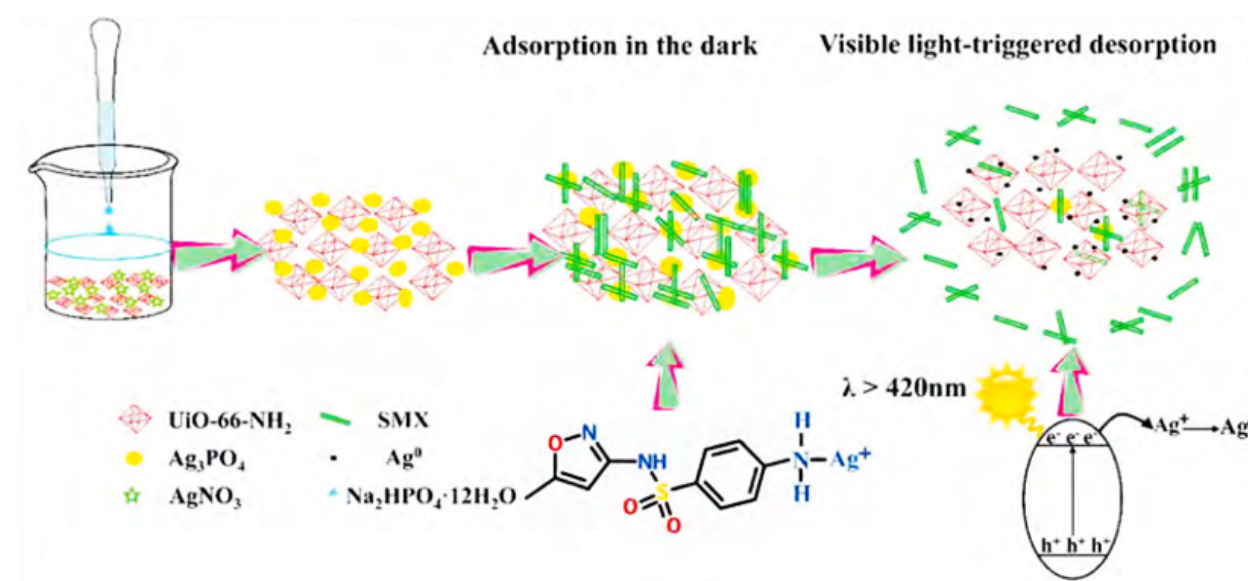
در طول تجزیه عکس تتراسایکلین، n-n هتروجانکشن تشکیل شد و این فرایند تجزیه را افزایش داد زیرا از نوترکیبی حامل‌های فوتوزنیک جلوگیری کرد (واکنش‌های ۱-۵).



گروه‌های آزو در غشا، هنگامی که در معرض نور مرئی قرار می‌گیرند، دارای یک پیکربندی ترانس بودند که مکان‌ها را گسترش می‌داد و درنتیجه نفوذپذیری  $\text{SO}_2$  و  $\text{CO}_2$  را افزایش می‌داد. از سوی دیگر، بخش‌های آزو هنگام تابش پرتو فرابنفش یک پیکربندی به خود گرفتند و این باعث کاهش قابل توجهی در اندازه منفذ غشاء و درنتیجه کاهش نفوذپذیری گازها شد (۴۶، ۶۲).

در مثال دیگری، خو<sup>۱</sup> و همکارانش (۴۲)، نانوکامپوزیت‌های عونان جاذب سولفامتوکسازول در فاضلاب رنگی استفاده کرد (شکل ۳). حضور نانوذرات  $\text{Ag}_3\text{PO}_4$  در جاذب به آن‌ها پاسخ‌دهی به نور می‌دهد. تبیین ساختاری نانوکامپوزیت  $\text{UiO-66-NH}_2/\text{Ag}_3\text{PO}_4$  با استفاده از آنالیزهای XRD، TGA، XPS، FT-IR، TEM و BET انجام شد. نتایج تجربی نشان داد که جذب عمدهاً به دلیل برهم‌کنش الکترواستاتیکی بین سولفامتوکسازول آنیونی و یون‌های  $\text{Ag}^+$  از  $\text{Ag}_3\text{PO}_4$  و به خوبی کمپلکس بین گروه‌های  $\text{NH}_2^-$  از سولفامتوکسازول و یون‌های  $\text{Ag}^+$  است. هنگامی که از این نانوکامپوزیت به عنوان جاذب استفاده کردند، آن‌ها ظرفیت جذب نسبتاً بالایی ( $200 \text{ mg g}^{-1}$ ) برای سولفامتوکسازول به دست آوردند. تابش نانوکامپوزیت  $\text{UiO-66-NH}_2/\text{Ag}_3\text{PO}_4$  با نور مرئی باعث تحریک عکس نانوذرات  $\text{Ag}_3\text{PO}_4$  شد و این منجر به شکافت نمک‌کول‌های آب شد. در طی تقسیم عکس مولکول‌های آب،  $\text{Ag}^+$  به طور همزمان به  $\text{Ag}^\circ$  کاهش یافت. این تبدیل  $\text{Ag}^\circ$  به  $\text{Ag}^+$  باعث تضعیف برهم‌کنش‌های الکترواستاتیکی بین سولفامتوکسازول آنیونی و یون‌های نقره در نانوکامپوزیت شد. درنتیجه دفع نوری سولفامتوکسازول از نانوکامپوزیت  $\text{UiO-66-NH}_2/\text{Ag}_3\text{PO}_4$  Rخ داد. انتشار سولفامتوکسازول از نانوکامپوزیت غنی شده  $\text{UiO-66-NH}_2/\text{Ag}_3\text{PO}_4$

<sup>1</sup> Xu



شکل ۳: طرح‌واره سنتز نانوکامپوزیت‌های  $\text{UiO-66-NH}_2/\text{Ag}_3\text{PO}_4$  MOF NP و سازوکار جذب و دفع آن‌ها برای حذف آلاینده‌های مواد رنگار و زیستمحیطی (۴۲).  
Figure 3: The schematic diagram of the synthesis of  $\text{UiO-66-NH}_2/\text{Ag}_3\text{PO}_4$  MOF NP composites and their adsorption-desorption mechanism. (42).

است. در گزارش‌های اخیر جاذب‌های MOF پاسخگو به نور  $\text{CO}_2$  برای جذب  $\text{CO}_2$  مناسب هستند. طول موج نور اثر تعديل‌کننده متفاوتی بر روی جذب مولکول‌های مختلف گاز دارد. لذا انتخاب‌پذیری  $\text{CO}_2$  می‌تواند پس از تغییر ایزومری شدن ترانس/اپیس چارچوب فلزی-آلی ناشی از نور تغییر کند (۵۸).

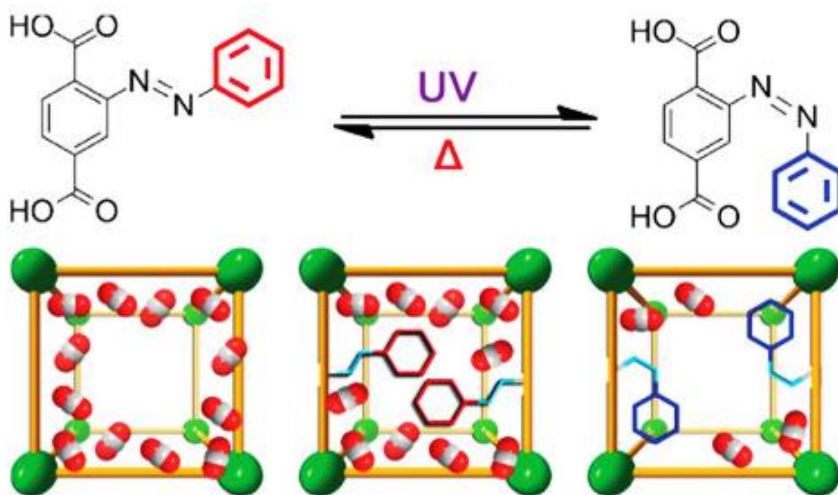
MOF‌ها به دلیل ویژگی‌های ساختاری ذاتی‌شان که شامل سطح بزرگ و ساختار متخلخل و ترکیبی قابل تنظیم بین گره‌های فلزی و پیوندهای آلی می‌شود، در کاتالیزور نوری مزایای زیادی دارند (۶۴). این MOF‌ها دارای دقت بالا، جذب بسیار بالا و بازیافت‌پذیری هستند (۶۵). از معایب این MOF‌ها می‌توان به روش مصنوعی طولانی و تهدیدات زیستمحیطی ناشی از برخی از حلال‌های آلی مورد استفاده در طول سنتز آن‌ها اشاره کرد (۶۶).

**۲-۳- نانوکامپوزیت‌های MOF پاسخگوی مغناطیسی**  
ساخت MOF‌های پاسخگو به مغناطیسی می‌تواند به طور مؤثر برای حذف آلاینده‌های مواد رنگار و زیستمحیطی استفاده شوند (جدول ۱). MOF‌های پاسخگو به مغناطیسی غنی‌شده را می‌توان به راحتی پس از فرایند اصلاح با اعمال میدان مغناطیسی خارجی از نمونه انبوه بازیابی کرد (۶۴)؛ بنابراین، قابلیت بازیافت MOF‌های پاسخگو به مغناطیسی پس از استفاده، ویژگی اصلی آن‌هاست که توجه برخی از محققان را در طول تصفیه محیطی به خود جلب کرده است. تعداد زیادی از فعل و انفعالات بین MOF‌های واکنش‌دهنده مغناطیسی و آلاینده‌ها در طول تصفیه محیطی رخ می‌دهد.

به منظور مقایسه کارایی نانوکامپوزیت چارچوب فلزی-آلی هوشمند در حذف آلاینده‌های مواد رنگار با سایر آلاینده‌ها نظری گازهای آلاینده، اثر همپارash تصویری پیوند بر ظرفیت جذب  $\text{CO}_2$  برای اولین بار توسط ژو<sup>۱</sup> و همکارانش در سال ۲۰۱۲ مورد مطالعه قرار گرفت (۶۳). در آن کار، یک MOF قابل تغییر عکس، PCN-123، با ترکیب گروه جانبی AB به ۲-(فنیل دیازنیل) ترفتالات به عنوان پیوند (شکل ۴) سنتز شد. پس از ۱ ساعت تابش پرتو فرابنفش، ظرفیت جذب  $\text{CO}_2$  PCN-123 از ۲۲۹ به ۱۶۸ سانتی‌متر مکعب بر گرم کاهش یافت و سپس با اندازه‌گیری مجدد به ۱۰۵ سانتی‌متر مکعب بر گرم کاهش یافت که نشان‌دهنده کاهش ۵۳٪ درصدی در جذب  $\text{CO}_2$  است. چنین کاهش قابل توجهی در جذب  $\text{CO}_2$  به تغییر ساختاری ناشی از عکس واحدهای آزوینزن در منافذ MOF نسبت داده شد. ظرفیت جذب  $\text{CO}_2$  می‌تواند با گرمایش حرارتی به ۱۳٪ بیشتر از حالت اولیه برگردد که ناشی از افزایش محتوای ترانس و حذف حلal با گرم کردن است. علاوه بر این، چرخه دوم تابش پرتو فرابنفش ۴۶٪ کاهش ظرفیت  $\text{CO}_2$  را به دست آورد (۶۳).

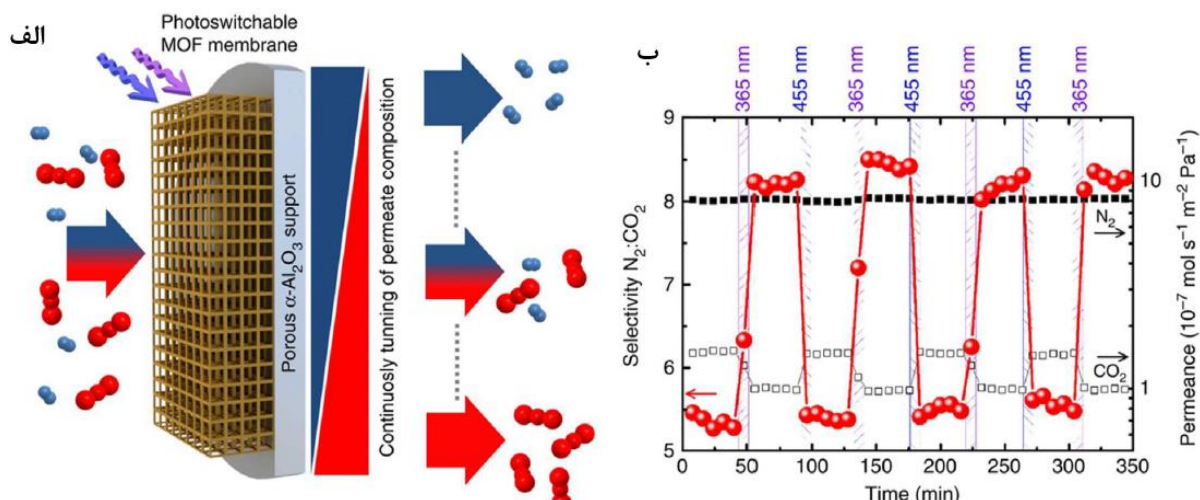
جداسازی غشایی قابل تعویض با گزینش پذیری مولکولی قابل تنظیم و کنترل از راه دور توسط یک غشای MOF در مخلوط  $\text{CO}_2:\text{N}_2$  در شکل ۵ نشان داده شده است. نفوذ  $\text{N}_2$  و  $\text{CO}_2$  به ترتیب به صورت مربع‌های جامد سیاه و مربع‌های باز سیاه با مقیاس لگاریتمی در سمت راست نشان داده است (۵۸). به طور کلی، ظرفیت جذب  $\text{CO}_2$  جاذب جامد وابسته به فعل و انفعالات فیزیکی و شیمیابی بین نانوحفره‌ها یا مکان‌های فعال جهت جذب مولکول‌های

<sup>۱</sup> Zhou



شکل ۴: ایزومری شدن ترانس به سیس پیوند PCN-123 (PCN represents porous coordination networks) ناشی از تابش UV و ایزومری شدن سیس به ترانس ناشی از عملیات حرارتی. طرح واره که جذب  $\text{CO}_2$  پیشنهادی را در MOF-5 و PCN-123 trans و PCN-123 cis نشان می‌دهد (۶۳).

Figure 4: Trans-to-cis isomerization of the ligand of PCN-123 (PCN represents porous coordination networks) induced by UV irradiation and the cis-to-trans isomerization induced by heat treatment. Schematic illustration showing the suggested  $\text{CO}_2$  uptake in MOF-5, PCN-123 trans, and PCN-123 cis (63).



شکل ۵: a) جداسازی غشای قابل تعویض. تصویر از گزینش‌پذیری مولکولی قابل تنظیم و کنترل از راه دور توسط یک غشای MOF پاسخگو به نور، b) جداسازی مخلوط  $\text{N}_2$ :  $\text{CO}_2$  به ترتیب به صورت مربع‌های جامد سیاه و مربع‌های باز سیاه با مقیاس لگاریتمی در سمت راست نشان داده شده است (۶۳).

Figure 5: a) Switchable membrane separation. Schematic illustration of tunable, remote-controllable molecular selectivity by a photoswitchable MOF membrane, b) The separation of  $\text{N}_2$ : $\text{CO}_2$  mixtures. The permeances of  $\text{N}_2$  and  $\text{CO}_2$  are shown as black solid squares and black open squares, respectively, with the logarithmic scale on the right-hand side (58).

Hg(II) (ZrMOF@GSH) سنتر کرد و از آن برای حذف جذبی (Hg(II))، Pb(II) و Cd(II) فاضلاب رنگی استفاده کرد (شکل ۶). آن‌ها خواص جاذب را با استفاده از آنالیز EDA، SEM، TEM، XRD، FT-IR و BET مشخص کردند. نتایج نشان داد که جاذب دارای سطح نسبتاً بالایی برای جذب یون‌های فلزات سنگین است. درنتیجه، آن‌ها ظرفیت جذب نسبتاً بالایی را برای جیوه (II)، کادمیم (II) و سرب (II) به دست آوردند که به ترتیب  $431 \text{ mg g}^{-1}$ ,  $393 \text{ mg g}^{-1}$  و  $421 \text{ mg g}^{-1}$  بودند.

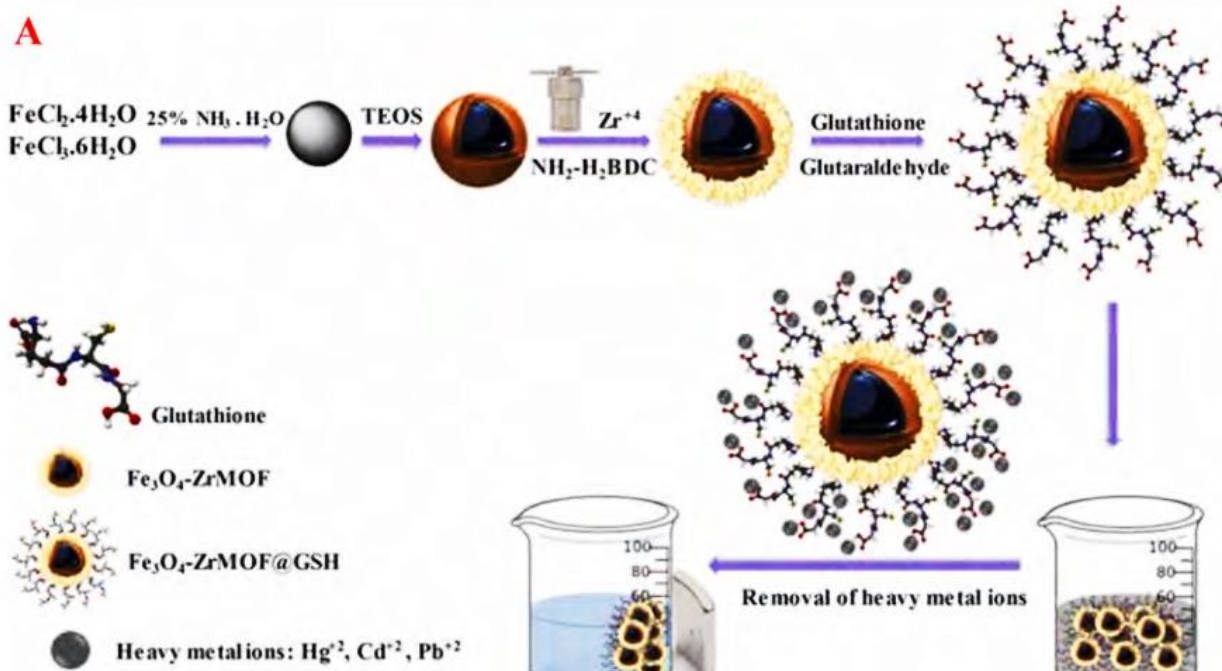
این‌ها شامل پیوندهای هیدروژنی، برهم‌کنش‌های  $\pi-\pi$ ، برهم‌کنش‌های آب‌گریز و برهم‌کنش‌های الکترواستاتیکی و همچنین کمپلکس شدن هستند (۵۲، ۵۳).

برخی از محققان از MOF‌های واکنش‌دهنده مغناطیسی برای جداسازی فلزات سنگین از محیط‌های آلوده و رنگی استفاده کرده‌اند. به عنوان مثال، راغب<sup>۱</sup> و همکارانش (۶۷)، یک جاذب را با تثبیت تری‌پپتید‌گلوتاتیون بر روی سطح یک MOF مغناطیسی ( $\text{Fe}_3\text{O}_4$ )

انباشته  $\pi-\pi$  پیوند هیدروژنی، چنگالش<sup>۳</sup> و برهم‌کنش آب گریز بود. حضور گروه‌های  $\text{NH}_2^-$  تشکیل پیوندهای هیدروژنی بین PPCPs و DES-MUiO-66-NH<sub>2</sub> را تسهیل کرد. از سوی دیگر، مراکز فلزی باردار، جذب PPCPs را از طریق کیلیت‌شدن و برهم‌کنش‌های الکترواستاتیک تسهیل کردند. DES-MUiO-66-NH<sub>2</sub> غنی‌شده را می‌توان به راحتی از نمونه انبوه از طریق اعمال میدان مغناطیسی خارجی بازیابی کرد. با این حال، استفاده از دمای بالا در طول سنتز آن، سازگاری با محیط‌زیست آن را تحت تأثیر قرار می‌دهد.<sup>(۴۴)</sup> این MOFs را می‌توان با استفاده از آهنربا از محلول آبی یا خاک مخلوط جدا و بازیابی کرد و همچنین دارای انتخاب پذیری بالا، پراکندگی خوب و استفاده مجدد چندگانه است و مطابق با مفهوم سبز است.<sup>(۶۸)</sup> همچنین دارای ظرفیت زیاد، هزینه کم، حذف سریع و جداسازی آسان فاز جامد هستند.<sup>(۶۹)</sup> استفاده از اتصال‌دهنده‌های کوتاه امکان اتصال مغناطیسی بزرگ بین مراکز فلزی را فراهم می‌کند، اما امکان تخلخل را محدود می‌کند، در حالی که ترکیب با سایر واحدهای بزرگتر که تخلخل ایجاد می‌کنند، ابعاد چارچوب را (از نظر مغناطیسی) کاهش می‌دهد، در نتیجه مقادیر دمای بحرانی پایینی دارد اما بیشترین محدودیت در پایداری آن‌ها است.

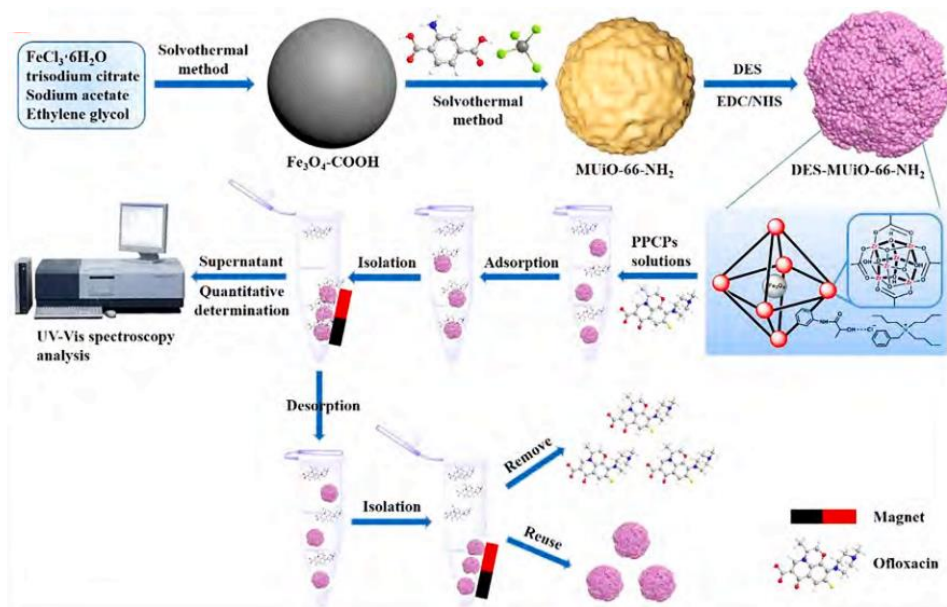
<sup>1</sup> Ragheb<sup>2</sup> Wei<sup>3</sup> Chelation

فلزات سنگین در  $\text{Fe}_3\text{O}_4\text{-ZrMOF@GSH}$  به ترتیب با مدل لانگمویر و سینتیک شبه مرتبه دوم به خوبی توصیف شد. بازیابی استخراج برای این یون‌های فلزات سنگین نیز نسبتاً بالا بود و آن‌ها از ۹۵٪ تا ۹۸٪ متغیر بودند. جاذب  $\text{Fe}_3\text{O}_4\text{-ZrMOF@GSH}$  قبل بازیافت بود که با جذب بیش از ۸۰ درصد از فلزات سنگین پس از ۱۰ چرخه بازسازی مشهود است. بازیابی جاذب  $\text{Fe}_3\text{O}_4\text{-ZrMOF@GSH}$  با استفاده از یک میدان مغناطیسی خارجی تسهیل شد. ظرفیت جذب بالای به دست آمده پس از ۱۰ چرخه جذب/واجدب، نشان‌دهنده پتانسیل بزرگ بازیافت جاذب  $\text{Fe}_3\text{O}_4\text{-ZrMOF@GSH}$  بود.<sup>(۶۷)</sup> در مطالعه دیگری، وی<sup>۳</sup> و همکارانش<sup>(۴۴)</sup>، یک نانوکامپوزیت چارچوب فلزی آلی مبتنی بر حلول فرازودگداز (DES) پاسخگوی مغناطیسی (DES-MUiO-66-NH<sub>2</sub>) را سنتز کرد و با موفقیت از آن به عنوان جاذب برای داروها و محصولات مراقبت شخصی (PPCPs) استفاده کرد (شکل ۷). جذب و سینتیک شبه مرتبه دوم به خوبی مدل ایزوترم لانگمویر و مدل سینتیک شبه مرتبه دوم به خوبی توصیف کرد. آن‌ها از دو PPCP، یعنی افلوکساسین و مفنامیکا اسید، به عنوان آنالیت مدل استفاده کردند. تحت شرایط بهینه، آن‌ها ظرفیت جذب نسبتاً بالایی به ترتیب  $g^{-1} ۹۷.۶۰ \text{ mg}$  و  $g^{-1} ۲۲.۷۹ \text{ mg}$  برای افلوکساسین و مفنامیکا اسید به دست آوردند. نتایج تجربی نشان داد که جذب PPCP‌ها از طریق برهم‌کنش الکترواستاتیکی



شکل ۶: سنتز  $\text{Fe}_3\text{O}_4\text{-ZrMOF@GSH}$  و کاربرد آن در جذب فلزات سنگین از نمونه‌های آب‌های رنگی.<sup>(۶۷)</sup>

Figure 6: Synthesis of  $\text{Fe}_3\text{O}_4\text{-ZrMOF@GSH}$  and its application during adsorption of heavy metals from colored water samples (67).



شکل ۷: ساخت جاذب‌های DES-MUiO-66-NH<sub>2</sub> و کاربرد آن‌ها در PPCP‌های جذب انتخابی (۴۴).

Figure 7: Fabrication of DES-MUiO-66-NH<sub>2</sub> adsorbents and their application in selective adsorption PPCPs (44).

استفاده از MOF‌های هوشمند پاسخگو به محرک‌ها حذف آلاینده‌های مواد رنگرآ و زیستمحیطی با چالش‌های زیادی همراه است. به عنوان مثال، برخی از MOF‌های هوشمند پاسخگو به محرک‌ها قادر ثبات در آب هستند و نمی‌توانند شرایط شیمیایی سخت ایجاد شده توسط حضور آلاینده‌ها در محیط را تحمل کنند. فعل و افعالات بین فلزات و پیوندهای آلی در MOFs به طور کلی ضعیف است. درنتیجه، برخی از MOF‌های پاسخگو به محرک‌ها می‌توانند هنگام قرار گرفتن در معرض رطوبت، آب زیادی را جذب کنند و این باعث فروپاشی ساختار آن‌ها می‌شود که منجر به کاهش قابل توجهی در ظرفیت جذب آن‌ها می‌شود. پایداری یک MOF را می‌توان با استفاده از مراکز فلزی با حالت‌های اکسیداسیون بالاتر در طول ساخت آن افزایش داد؛ بنابراین، تلاش‌های تحقیقاتی باید به سمت توسعه MOF‌های پایدارتر از طریق ادغام فلزات با حالت اکسیداسیون بالاتر در ساختار آن‌ها هدایت شود. چالش دیگر این است که ساخت MOF‌های پاسخگو به محرک‌ها اغلب شامل استفاده از روش‌های مصنوعی پیچیده است که گاهی اوقات شامل استفاده از حلال‌های آلی می‌شود. چنین رویده‌های پیچیده‌ای مانع تجاری‌سازی MOF‌های پاسخ‌دهنده به محرک‌ها برای حذف آلاینده‌های مواد رنگرآ و زیستمحیطی می‌شوند، زیرا این امر منجر به هزینه‌های تولید بالاتر می‌شود. استفاده از حلال‌های آلی در طول سنتز MOF‌های پاسخ‌دهنده به محرک‌ها باعث می‌شود که از نظر محیطی جذابیت کمتری به عنوان جاذب داشته باشند. علاوه بر این، پیوندهای آلی مورداستفاده در طول سنتز MOF‌های هوشمند پاسخگو به محرک اغلب گران هستند.

در نهایت، استفاده از پیوندهای فلزی راحت‌ترین روش برای تهیه MOF‌های مغناطیسی با دمای بحرانی بالا به نظر می‌رسد، اگرچه تعداد محدودی از پیوندهای فلزی قادر به ترویج تبادل مغناطیسی وجود دارد (۷۰).

### ۳- نتیجه‌گیری

نانوکامپوزیت MOF هوشمند پاسخگو به محرک‌ها، جاذب‌های همه کاره ای برای حذف آلاینده‌های مواد رنگرآ و زیستمحیطی هستند. این ترکیبات جدید با موفقیت توسط پژوهشگران برای جذب آلاینده‌های مواد رنگرآ و محیطی و همچنین در سامانه‌های غشایی به کار گرفته شده‌اند. نانوکامپوزیت‌های هوشمند MOF دارای خواص فیزیکی و شیمیایی قابل تنظیم هستند که در واکنش به محرک‌هایی مانند دما، نور و میدان‌های مغناطیسی برای تصفیه محیط‌زیست به شیوه‌ای کنترل شده تغییر می‌کنند. استفاده از آن‌ها در طول مطالعات جذب با ظرفیت‌های جذب بالا مشخص شده است و این را می‌توان به ماهیت بسیار متخلخل MOF‌های موجود در نانوکامپوزیت‌ها نسبت داد. همچنین تشکیل سامانه‌های غشایی هوشمند با اندازه منافذ قابل تنظیم توسط محرک را فعال کرده‌اند. وجود قسمت‌های پاسخ‌دهنده به محرک‌ها در نانوکامپوزیت‌های MOF همچنین سبزی جاذب‌ها را از طریق ایجاد دفع بدون حلal افزایش می‌دهد؛ بنابراین، استفاده از حلال‌های آلی زمانی به حداقل می‌رسد که MOF‌های پاسخ‌دهنده به محرک‌ها به عنوان جاذب برای تصفیه محیط‌زیست استفاده شوند. این ویژگی‌های جذب MOF‌های پاسخ‌دهنده به محرک‌ها، علیق بسیاری از محققین را برای تصفیه محیط‌زیست جلب کرد.

راه‌های مناسب و ایمن‌تر برای دفع MOF‌های پاسخ‌دهنده به محرک‌ها پس از استفاده انجام دهنند. این امر به جلوگیری از تخلیه پلیمرهای پاسخ‌گو به محرک در محیط کمک زیادی می‌کند. به علاوه، بیشتر محدودیت‌های مجاز MOF‌های پاسخ‌دهنده به محرک‌ها در محیط، در مقالات وجود ندارد. این یکی دیگر از شکاف‌های تحقیقاتی است که باید توسط محققان برای مطالعات آتی بررسی شود. مقدار MOF‌های پاسخ‌گو به محرک‌های مورداستفاده برای حذف آلاینده‌های مواد رنگزا و زیستمحیطی را می‌توان با بهبود گزینش پذیری آن‌ها افزایش داد. یکی از راه‌های بهبود گزینش پذیری MOF‌های پاسخ‌دهنده به محرک، از طریق ادغام پلیمرهای حکشده مولکولی در ساختار آن‌ها است. این منجر به تشکیل MOF‌های هوشمند پاسخ‌گو به محرک‌ها با حفره‌های شناسایی خاص برای آلاینده‌های خاص در محیط می‌شود و درنتیجه انتخاب پذیری را افزایش می‌دهد؛ بنابراین، محققان باید در تلاش‌های آینده‌شان، استفاده از MOF‌های حکشده مولکولی پاسخ‌دهنده به محرک‌ها را برای حذف آلاینده‌های مواد رنگزا و زیستمحیطی بررسی کنند.

#### تشکر و قدردانی

نویسنده‌گان از حمایت پژوهشگاه رنگ تشکر و قدردانی می‌نمایند.

#### تعارض منافع

در این مقاله هیچ‌گونه تعارض منافعی توسط نویسنده‌گان گزارش نشده است.

سنتز نانوکامپوزیت‌های MOF هوشمند پاسخ‌گو به محرک‌ها شامل استفاده از پیوندهای آلی، یون‌ها یا خوش‌های فلزات واسطه و مواد فعال محرک است. پیوندهای آلی که در طول ساخت آن‌ها استفاده می‌شود، معمولاً از صنایع پتروشیمی مشتق می‌شوند. این پیوندهای آلی غیرقابل تجزیه زیستی و معمولاً برای محیط‌زیست سمی هستند؛ بنابراین، تلاش‌های تحقیقاتی باید به سمت ساخت MOF‌های پاسخ‌دهنده به محرک‌ها با استفاده از پیوندهای جایگزین مانند مولکول‌های زیستی مانند پلی‌ساقاریدها هدایت شود. ادغام مولکول‌های زیستی در ساختارهای MOF‌های پاسخ‌دهنده به محرک‌ها، به آن‌ها قابلیت تجزیه زیستی و همچنین بخش‌های عملکردی اضافی را می‌دهد که حذف جذبی آلاینده‌ها از محیط را تسهیل می‌کند. ساخت MOF‌های هوشمند پاسخ‌گو به محرک معمولاً شامل استفاده از فلزات سنگین به عنوان مراکز هم‌آرایی است. وجود فلزات سنگین در ساختار آن‌ها باعث می‌شود که MOF‌های پاسخ‌گو به محرک‌ها ردپای محیطی نسبتاً بزرگی داشته باشند زیرا بیشتر این فلزات برای موجودات زنده سمی هستند؛ بنابراین، انتخاب یون‌های فلزی در طول ساخت MOF‌های هوشمند پاسخ‌گو به محرک باید با دقت انجام شود تا در صورت امکان از یون‌های سمی کمتری استفاده شود.

های هوشمند پاسخ‌گو به محرک‌ها را می‌توان به راحتی از نمونه‌های محیطی با تغییر شرایط محرک‌ها بازیابی کرد. با این حال، برخی به ناچار به محیط‌زیست راه پیدا می‌کنند. همان‌طور که قبل اشاره شد، برخی از MOF‌های پاسخ‌گو به محرک برای محیط‌زیست سمی هستند؛ بنابراین، محققان باید تلاش‌های دیوانه‌واری برای ایجاد

#### - مراجع

- Peng XX, Gai S, Cheng K, Yang F. Roles of humic substances redox activity on environmental remediation. *J Hazard Mater.* 2022;435:129070. <https://doi.org/10.1016/j.jhazmat.2022.129070>.
- Qu J, Shi J, Wang Y, Tong H, Zhu Y, Xu L, et al. Applications of functionalized magnetic biochar in environmental remediation: A review. *J Hazard Mater.* 2022;434:128841. <https://doi.org/10.1016/j.jhazmat.2022.128841>.
- Tang F, Yu H, Yassin Hussain Abdalkarim S, Sun J, Fan X, Li Y, et al. Green acid-free hydrolysis of wasted pomelo peel to produce carboxylated cellulose nanofibers with super absorption/flocculation ability for environmental remediation materials. *Chem Eng J.* 2020;395:125070. <https://doi.org/10.1016/j.cej.2020.125070>
- Xu H, Jia Y, Sun Z, Su J, Liu QS, Zhou Q, et al. Environmental pollution, a hidden culprit for health issues. *Eco-Environment Heal.* 2022;1(1):31–45. <https://doi.org/10.1016/j.eehl.2022.04.003>
- Wang F, Wang R, He Z. The impact of environmental pollution and green finance on the high-quality development of energy based on spatial Dubin model. *Resour Policy.* 2021;74:102451. <https://doi.org/10.1016/j.resourpol.2021.102451>
- Liu W, Xu Y, Fan D, Li Y, Shao XF, Zheng J. Alleviating corporate environmental pollution threats toward public health and safety: The role of smart city and artificial intelligence. *Saf Sci.* 2021;143:105433. <https://doi.org/10.1016/j.ssci.2021.105433>
- Jabbar KQ, Barzinjy AA, Hamad SM. Iron oxide nanoparticles: Preparation methods, functions, adsorption and coagulation/flocculation in wastewater treatment. *Environ Nanotechnology, Monit Manag.* 2022;17:100661. <https://doi.org/10.1016/j.emm.2022.100661>
- Badawi AK, Zaher K. Hybrid treatment system for real textile wastewater remediation based on coagulation/flocculation, adsorption and filtration processes: Performance and economic evaluation. *J Water Process Eng.* 2021;40:101963. <https://doi.org/10.1016/j.jwpe.2021.101963>

- j.jwpe.2021.101963.
9. Kundu S, Karak N. Polymeric photocatalytic membrane: An emerging solution for environmental remediation. *Chem Eng J.* 2022;438:135575. [https://doi.org/10.1016/j.cej.2022.135575.](https://doi.org/10.1016/j.cej.2022.135575)
  10. Liu Q, Luo Y, Shi J. Reagent elution combined with positive pressure filtration: A zero-discharge method for cyanide tailings remediation. *J Environ Sci.* 2022;113:376–84. <https://doi.org/10.1016/j.jes.2021.06.028>
  11. Xiao H, Low ZX, Gore DB, Kumar R, Asadnia M, Zhong Z. Porous metal–organic framework-based filters: Synthesis methods and applications for environmental remediation. *Chem Eng J.* 2022;430:133160. <https://doi.org/10.1016/j.cej.2021.133160>
  12. Musarurwa H, Tavengwa NT. Application of carboxymethyl polysaccharides as bio-sorbents for the sequestration of heavy metals in aquatic environments. *Carbohydr Polym.* 2020;237:116142. <https://doi.org/10.1016/j.carbpol.2020.116142>
  13. Zhang N, Ishag A, Li Y, Wang H, Guo H, Mei P, et al. Recent investigations and progress in environmental remediation by using covalent organic framework-based adsorption method: A review. *J Clean Prod.* 2020; 277:123360. <https://doi.org/10.1016/j.jclepro.2020.123360>.
  14. Musarurwa H, Tavengwa NT. Sustainable extraction of pesticides in food and environmental samples using emerging green adsorbents. *Sustain Chem Pharm.* 2021;24: 100545.<https://doi.org/10.1016/j.scp.2021.100545>.
  15. Uriakhil MA, Sidnell T, De Castro Fernández A, Lee J, Ross I, Bussemaker M. Per- and poly-fluoroalkyl substance remediation from soil and sorbents: A review of adsorption behaviour and ultrasonic treatment. *Chemosphere.* 2021; 282:131025.[https://doi.org/10.1016/j.chemosphere.2021.131025.](https://doi.org/10.1016/j.chemosphere.2021.131025)
  16. Qi X, Yin H, Zhu M, Yu X, Shao P, Dang Z. MgO-loaded nitrogen and phosphorus self-doped biochar: High-efficient adsorption of aquatic Cu<sup>2+</sup>, Cd<sup>2+</sup>, and Pb<sup>2+</sup> and its remediation efficiency on heavy metal contaminated soil. *Chemosphere.* 2022;294:133733.[https://doi.org/10.1016/j.chemosphere.2022.133733.](https://doi.org/10.1016/j.chemosphere.2022.133733)
  17. Navaei Diva T. Various Adsorbents for removal of rhodamine b dye: a review. *J Stud Color World.* 2023;12(4):387–404. <https://dorl.net/dor/20.1001.1.22517278.1401.12.4.6.7> [In Persian].
  18. Oladoye PO, Adegboyega SA, Giwa ARA. Remediation potentials of composite metal-organic frameworks (MOFs) for dyes as water contaminants: A comprehensive review of recent literatures. *Environ Nanotechnology, Monit Manag.* 2021;16:100568. [https://doi.org/10.1016/j.enmm.2021.100568.](https://doi.org/10.1016/j.enmm.2021.100568)
  19. Pourebrahimi S, Pirooz M. Functionalized covalent triazine frameworks as promising platforms for environmental remediation: A review. *Clean Chem Eng.* 2022;2:100012. <https://doi.org/10.1016/j.clece.2022.100012>
  20. Rai PK. Novel adsorbents in remediation of hazardous environmental pollutants: Progress, selectivity, and sustainability prospects. *Clean Mater.* 2022;3:100054. <https://doi.org/10.1016/j.clema.2022.100054>
  21. He Y, Wang Y, Shi J, Lu X, Liu Q, Liu Y, et al. Incorporating metal–organic frameworks into substrates for environmental applications. *Chem Eng J.* 2022;446:136866. <https://doi.org/10.1016/j.cej.2022.136866>.
  22. Qi X, Tong X, Pan W, Zeng Q, You S, Shen J. Recent advances in polysaccharide-based adsorbents for wastewater treatment. *J Clean Prod.* 2021;315:128221. <https://doi.org/10.1016/j.jclepro.2021.128221>.
  23. Musarurwa H, Tavengwa NT. Application of polysaccharide-based metal organic framework membranes in separation science. *Carbohydr Polym.* 2022;275:118743. <https://doi.org/10.1016/j.carbpol.2021.118743>
  24. Jian N, Dai Y, Wang Y, Qi F, Li S, Wu Y. Preparation of polydopamine nanofibers mat as a recyclable and efficient adsorbent for simultaneous adsorption of multiple tetracyclines in water. *J Clean Prod.* 2021;320:128875. <https://doi.org/10.1016/j.jclepro.2021.128875>.
  25. Musarurwa H, Tawanda Tavengwa N. Extraction and electrochemical sensing of pesticides in food and environmental samples by use of polydopamine-based materials. *Chemosphere.* 2021;266:129222. <https://doi.org/10.1016/j.chemosphere.2020.129222>.
  26. Orta M del M, Martín J, Santos JL, Aparicio I, Medina-Carrasco S, Alonso E. Biopolymer-clay nanocomposites as novel and ecofriendly adsorbents for environmental remediation. *Appl Clay Sci.* 2020;198:105838. <https://doi.org/10.1016/j.clay.2020.105838>.
  27. Musarurwa H, Chimuka L, Tavengwa NT. Metal organic framework-based magnetic solid phase extraction of pesticides in complex matrices. *Microchem J.* 2021;171:106907. <https://doi.org/10.1016/j.microc.2021.106907>.
  28. Najafi M, Abednatanzi S, Gohari Derakhshandeh P, Mollarasouli F, Bahrami S, Behbahani ES, et al. Metal-organic and covalent organic frameworks for the remediation of aqueous dye solutions: Adsorptive, catalytic and extractive processes. *Coord Chem Rev.* 2022;454:214332. <https://doi.org/10.1016/j.ccr.2021.214332>
  29. Sadiq AC, Olasupo A, Rahim NY, Ngah WSW, Suah FBM. Comparative removal of malachite green dye from aqueous solution using deep eutectic solvents modified magnetic chitosan nanoparticles and modified protonated chitosan beads. *J Environ Chem Eng.* 2021;9(5):106281. <https://doi.org/10.1016/j.jeche.2021.106281>
  30. Heydari M, Gharagozlu M, Ghahari M. An Overview of the Types of Edible Metal Organic Framework (MOF) Nanostructures as Biocompatible and Efficient Dye Adsorbent. *J Stud Color World.* 2020;9(4):29–41. <https://dorl.net/dor/20.1001.1.22517278.1398.9.4.5.5> [In Persian].
  31. Daglar H, Altintas C, Erucar I, Heidari G, Zare EN, Moradi O, et al. Metal-organic framework-based materials for the abatement of air pollution and decontamination of wastewater. *Chemosphere.* 2022;303:135082. <https://doi.org/10.1016/j.chemosphere.2022.135082>.
  32. Peng H, Xiong W, Yang Z, Xu Z, Cao J, Jia M, et al. Advanced MOFs@ aerogel composites: Construction and application towards environmental remediation. *J Hazard Mater.* 2022;432:128684. <https://doi.org/10.1016/j.jhazmat.2022.128684>
  33. Gorky F, Nambo A, Carreon ML. Cold plasma-Metal Organic Framework (MOF)-177 breathable system for atmospheric remediation. *J CO<sub>2</sub> Util.* 2021;51:101642. <https://doi.org/10.1016/j.jcou.2021.101642>.
  34. Bhuyan A, Ahmaruzzaman M. Metal-organic frameworks: A new generation potential material for aqueous environmental remediation. *Inorg Chem Commun.* 2022;140:109436. <https://doi.org/10.1016/j.inoche.2022.109436>.
  35. Khan S, Guan Q, Liu Q, Qin Z, Rasheed B, Liang X, et al. Synthesis, modifications and applications of MILs Metal-organic frameworks for environmental remediation: The cutting-edge review. *Sci Total Environ.* 2022;810:152279.

- [https://doi.org/10.1016/j.scitotenv.2021.152279.](https://doi.org/10.1016/j.scitotenv.2021.152279)
36. Zhu L, Meng L, Shi J, Li J, Zhang X, Feng M. Metal-organic frameworks/carbon-based materials for environmental remediation: A state-of-the-art mini-review. *J Environ Manage.* 2019;232:964–77. <https://doi.org/10.1016/j.jenvman.2018.12.004>
37. Liu X, Shan Y, Zhang S, Kong Q, Pang H. Application of metal organic framework in wastewater treatment. *Green Energy Environ.* 2023;8(3):698–721. <https://doi.org/10.1016/j.gee.2022.03.005>.
38. Hayashi K, Matsuyama T, Ida J. A simple magnetite nanoparticle immobilized thermoresponsive polymer synthesis for heavy metal ion recovery. *Powder Technol.* 2019;355:183–90. <https://doi.org/10.1016/j.powtec.2019.07.007>
39. Shamim MA, Zia H, Zeeshan M, Khan MY, Shahid M. Metal organic frameworks (MOFs) as a cutting-edge tool for the selective detection and rapid removal of heavy metal ions from water: Recent progress. *J Environ Chem Eng.* 2022;10(1):106991. <https://doi.org/10.1016/j.jece.2021.106991>.
40. Ahmad Isiyaka H, Jumbri K, Soraya Sambudi N, Uba Zango Z, Ain Fathihah Binti Abdullah N, Saad B. Effective adsorption of metolachlor herbicide by MIL-53(Al) metal-organic framework: Optimization, validation and molecular docking simulation studies. *Environ Nanotechnology, Monit Manag.* 2022;18:100663. <https://doi.org/10.1016/j.enmm.2022.100663>.
41. Musarurwa H, Tavengwa NT. Stimuli-responsive polymers and their applications in separation science. *React Funct Polym.* 2022;175:105282. <https://doi.org/10.1016/j.reactfunctpolym.2022.105282>
42. Xu XY, Chu C, Fu H, Du XD, Wang P, Zheng W, et al. Light-responsive UiO-66-NH<sub>2</sub>/Ag<sub>3</sub>PO<sub>4</sub> MOF-nanoparticle composites for the capture and release of sulfamethoxazole. *Chem Eng J.* 2018;350:436–44. <https://doi.org/10.1016/j.cej.2018.06.005>
43. Xia Z, Shi B, Zhu W, Lü C. Temperature-responsive polymer-tethered Zr-porphyrin MOFs encapsulated carbon dot nanohybrids with boosted visible-light photodegradation for organic contaminants in water. *Chem Eng J.* 2021;426:131794. <https://doi.org/10.1016/j.cej.2021.131794>.
44. Wei X, Wang Y, Chen J, Xu F, Liu Z, He X, et al. Adsorption of pharmaceuticals and personal care products by deep eutectic solvents-regulated magnetic metal-organic framework adsorbents: Performance and mechanism. *Chem Eng J.* 2020;392:124808. <https://doi.org/10.1016/j.cej.2020.124808>.
45. Zhang W, Sun P, Wang X, zhang X, ran L, Zhao Q, et al. Elevating the stability and adsorption performance of metal-organic frameworks by chitosan and attapulgite for capturing methylene blue in the water. *Mater Today Commun.* 2022;31:103601. <https://doi.org/10.1016/j.mtcomm.2022.103601>.
46. Xin Q, Cao X, Huang D, Li S, Zhang X, Xuan G, et al. Smart light-responsive hierarchical metal organic frameworks constructed mixed matrix membranes for efficient gas separation. *Green Chem Eng.* 2022;3(1):71–82. <https://doi.org/10.1016/j.gce.2021.09.004>
47. Mogale R, Akpomie KG, Conradie J, Langner EHG. Dye adsorption of aluminium- and zirconium-based metal organic frameworks with azobenzene dicarboxylate linkers. *J Environ Manage.* 2022;304:114166. <https://doi.org/10.1016/j.jenvman.2021.114166>
48. Zhang S, Ou R, Ma H, Lu J, Banaszak Holl MM, Wang H. Thermally regenerable metal-organic framework with high monovalent metal ion selectivity. *Chem Eng J.* 2021;405:127037. <https://doi.org/10.1016/j.cej.2020.127037>
49. Choe J, Yang X, Yu J, Jang K, Kim M, An K. Visible-light responsive PPnyt@NH<sub>2</sub>-MIL-125 nanocomposite for efficient reduction of Cr(VI). *Colloids Surfaces A Physicochem Eng Asp.* 2022;636:128147. <https://doi.org/10.1016/j.colsurfa.2021.128147>
50. Prasetya N, Ladewig BP. An insight into the effect of azobenzene functionalities studied in UiO-66 frameworks for low energy CO<sub>2</sub> capture and CO<sub>2</sub>/N<sub>2</sub> membrane separation. *J Mater Chem A.* 2019;7(25):15164–72. <https://doi.org/10.1039/C9TA02096A>
51. Allegretto JA, Giussi JM, Moya SE, Azzaroni O, Rafti M. Synthesis and characterization of thermoresponsive ZIF-8@PNIPAm-co-MAA microgel composites with enhanced performance as an adsorption/release platform. *RSC Adv.* 2020;10(5):2453–61. <https://doi.org/10.1039/C9RA09729E>.
52. Li Z, Liu Q, Lu X, Deng C, Sun N, Yang X. Magnetic metal-organic framework nanocomposites for enrichment and direct detection of environmental pollutants by negative-ion matrix-assisted laser desorption/ionization time-of-flight mass spectrometry. *Talanta.* 2019;194:329–35. <https://doi.org/10.1016/j.talanta.2018.10.058>
53. Huo J bo, Yu G, Wang J. Magnetic zeolitic imidazolate frameworks composite as an efficient adsorbent for arsenic removal from aqueous solution. *J Hazard Mater.* 2021;412:125298. <https://doi.org/10.1016/j.jhazmat.2021.125298>
54. Lian L, Zhang X, Hao J, Lv J, Wang X, Zhu B, et al. Magnetic solid-phase extraction of fluoroquinolones from water samples using titanium-based metal-organic framework functionalized magnetic microspheres. *J Chromatogr A.* 2018;1579:1–8. <https://doi.org/10.1016/j.chroma.2018.10.019>
55. Tran NT, Trung LG, Nguyen MK. The degradation of organic dye contaminants in wastewater and solution from highly visible light responsive ZIF-67 monodisperse photocatalyst. *J Solid State Chem.* 2021;300:122287. <https://doi.org/10.1016/j.jssc.2021.122287>
56. Zhang X, Yuan N, Li Y, Han L, Wang Q. Fabrication of new MIL-53(Fe)@TiO<sub>2</sub> visible-light responsive adsorptive photocatalysts for efficient elimination of tetracycline. *Chem Eng J.* 2022;428:131077. <https://doi.org/10.1016/j.cej.2021.131077>
57. Rajput K, Sareen S, Saini S, Kumar N, Sharma V, Mehta SK, et al. Metal organic frameworks as versatile platforms for wastewater remediation. *Mater Today Proc.* 2022;57:846–50. <https://doi.org/10.1016/j.matpr.2022.02.457>
58. Yu H, Wang Z, Wu R, Chen X, Chan TWD. Water-dispersible pH/thermo dual-responsive microporous polymeric microspheres as adsorbent for dispersive solid-phase extraction of fluoroquinolones from environmental water samples and food samples. *J Chromatogr A.* 2019;1601:27–34. <https://doi.org/10.1016/j.chroma.2019.05.004>.
59. Musarurwa H, Tavengwa NT. Thermo-responsive polymers and advances in their applications in separation science. *Microchem J.* 2022;179:107554. <https://doi.org/10.1016/j.microc.2022.107554>
60. Hosseinian Naeini A, Kalaei M, Moradi O, Mahmoodi N. Investigating Factors Affecting the Removal of dyestuff from Wastewater Using Different Nanocomposites: A Review Study. *J Stud Color World.* 2023;12(4):343–368. [In Persian].

- https://doi.org/20.1001.1.22517278.1401.12.4.4.5
61. Prasetya N, Ladewig BP. Dynamic photo-switching in light-responsive JUC-62 for CO<sub>2</sub> capture. *Sci Rep.* 2017;7(1):13355. https://doi.org/10.1038/s41598-017-13536-4.
  62. Hadavi Moghadam B, Hasanzadeh M. Enhancing Photocatalytic Activity by Piezoelectric Effect in Dye Removal from Wastewater. *J Stud Color World.* 2022;12(2):117–131. https://doi.net/dor/20.1001.1.22517278.1401.12.2.2.9 [In Persian].
  63. Park J, Yuan D, Pham KT, Li JR, Yakovenko A, Zhou HC. Reversible Alteration of CO<sub>2</sub> Adsorption upon Photochemical or Thermal Treatment in a Metal–Organic Framework. *J Am Chem Soc.* 2012;134(1):99–102. https://doi.org/10.1021/ja209197f.
  64. Khan MM, Rahman A, Matussin SN. Recent Progress of Metal–Organic Frameworks and Metal–Organic Frameworks-Based Heterostructures as Photocatalysts. *Nanomater* (Basel, Switzerland). 2022;12(16). https://doi.org/10.3390/nano12162820
  65. Zheng HQ, Zhang L, Cui Y, Qian G. Dynamically responsive photonic metal–organic frameworks. *Adv Photonics.* 2023;5(05):3–4. https://doi.org/10.1117/1.ap.5.054001
  66. Scandura G, Eid S, Alnajjar AA, Paul T, Karanikolos GN, Shetty D, et al. Photo-responsive metal-organic frameworks - design strategies and emerging applications in photocatalysis and adsorption. *Mater Adv.* 2023;4(5):1258–85. https://doi.org/10.1039/d2ma01022d.
  67. Ragheb E, Shamsipur M, Jalali F, Mousavi F. Modified magnetic-metal organic framework as a green and efficient adsorbent for removal of heavy metals. *J Environ Chem Eng.* 2022;10(2):107297. https://doi.org/10.1016/j.jece.2022.107297.
  68. Zhao G, Qin N, Pan A, Wu X, Peng C, Ke F, et al. Magnetic Nanoparticles@Metal-Organic Framework Composites as Sustainable Environment Adsorbents. Fratoddi I, editor. *J Nanomater.* 2019;2019:1454358. https://doi.org/10.1155/2019/1454358.
  69. Zhao X, Liu S, Tang Z, Niu H, Cai Y, Meng W, et al. Synthesis of magnetic metal-organic framework (MOF) for efficient removal of organic dyes from water. *Sci Rep.* 2015;5(1):11849. https://doi.org/10.1038/srep11849.
  70. Mínguez Espallargas G, Coronado E. Magnetic functionalities in MOFs: From the framework to the pore. *Chem Soc Rev.* 2018;47(2):533–57. https://doi.org/10.1039/c7cs00653e

**How to cite this article:**

Gharagozlou M, sadegh A M. Smart nanocomposites of metal-organic framework (mof) and their applications in removing dye and environmental pollutants, *Stud color world.* 2024;14(3):87-101. https://doi.org/10.30509/JSCW.2023.81974 [In Persian].